

# 超音波 硬度計의 測定精度에 관한 研究

韓 應教\*, 尹 鍾學\*\*, 金 在烈\*\*\*

## A Study on the Measuring Accuracy of Ultrasonic Hardness Tester

Eung-kyo Han\*, Jong Hak Yoon\*\*, Jae Yeor Kim\*\*\*

### Abstract

In recent days, the application of ultrasonics has been increased in the field of engineering and medicine.

The ultrasonic hardness tester to apply the principle of contact compliance method is entirely different from hardness tester in the past and in the practical use, the more precise measurement is required because it has a slight change of hardness value due to the difference of resonance frequency.

Therefore, in this study, as one type of applicative transducers which can detect the optimum pressure load, ring type load cell was used in the measurement of ultrasonic hardness.

From experimental results, it was compared ultrasonic hardness testing method with the other hardness testing methods.

Also, the measurement error of ultrasonic hardness tester could be measured within  $\pm 0.5$  HRC F.S. in the case of 3.0Kg pressure load.

### Nomenclature

(English letters)

$C_sN$	: Coefficient of specimen.	$q_r$	: Static compliance of rod.
$C_tN$	: Coefficient of indenter.	$q_s$	: Compliance of specimen.
$d$	: Diameter of indented part.	$q_t$	: Compliance of indenter.

\*漢陽大學校 教授

\*\*京畿工業開放大學 教授

\*\*\*漢陽大學校 大學院

E	: Young's modulus or Modulus of elasticity.	$q_x$	: Contact compliance.
f	: Resonance frequency.	S	: Cross-sectional of the load.
fr.1	: First order natural frequency of bar.	V	: Velocity of sound in the material.
$\Delta f$	: Variation of frequency.	$x_c$	: Reactance of specimen.
L	: Length of vibration rod.	$Z_x, Z_0$	: Impedance of specimen.
$m_s$	: Mass of specimen.		
$m_t$	: Mass of specimen.		

## (Greek letters)

$\gamma$	: Damping coefficient	$\rho$	: Density of the rod.
$\alpha_r$	: Ratio of the length of the rod.	$\xi$	: Vibrational displacement.
$\nu_s$	: Poisson's ratio of indenter.	$\Phi = \alpha_r \tan \alpha_r$	(Non-dimensional value)
$\nu_t$	: Poisson's ratio of indenter.	$\Psi$	: Ratio of elastic compliance.

**I. 結 論**

從來의 硬度試驗法과는 전혀 다른 試驗法으로서 非破壞分野에 있어서 超音波의 應用면에 대한 연구가 행해지고 있다. 現在 使用되고 있는 直接的인 押入法과 周波數가 높은 超音波 周波數의 減衰와 硬度 사이의 關係에 의한 間接的인 方法에 이어서 Contact Compliance Method가 開發되었다.

超音波 硬度計는 Contact Compliance Method를 利用한 原理인데 壓子의 押入깊이(數 micron)을 超音波振動을 使用하여 測定한 것으로 發振周波數의 差異로 나타난 硬度值는 Ampere meter에 의해서 나타나게 되며 特히 從來의 측정방법과 比較할 때 垂直方向 뿐만 아니라 어떠한 方향에서도 測定이 可能하고, 또한 表層部의 測定도 되며, 1 in<sup>2</sup>의 試驗片에 250,000回의 測定이 可能하므로 金屬組織의 研究에 適合하며, Portable 形이므로 機械的인 試驗 이외에도 建築 및 一般構造物의 測定에도 利用될 수 있으리라 생각된다.

이것은 G. M. L Gladwell<sup>7), 8)</sup>에 의해 報告되었으나 圧荷重에 대한 가변성이 매우 크기 때문에 實際應用面에 있어서 많은 研究가 必要하다고 生覺된다.

本論文에서는 超音波 硬度計의 測定에 있어서 精度向上을 위해서 測定에 必要한 圧荷重을 檢出하는데 應用變換器의 一種인 Ring type load Cell을 製作하여 최적의 압하중을 결정해서 정도를 舒상시키는데 목적이 있다.

여기에 그 實驗한 結果를 다음과 같이 報告한다.

**II. 超音波 硬度計의 理論****2.1 超音波 硬度計의 原理**

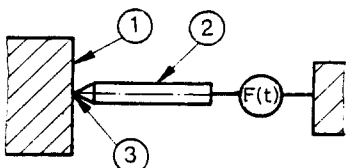
超音波 硬度計는 超音波 振動을 하고 있는 棒의 先端에 diamond壓子를 附着하고 Specimen의 表面에 눌러주게 되면 棒의 共振周波數가 Compliance의 差異에 의해서 增加하는 現象을

利用한 것이다. Fig. 1에서 超音波 硬度計에 對한 Circuit의 簡單化된 動作圖를 나타내고 있으며 磁歪振動子인 Nickel 棒의 先端에 Vickers diamond indenter 가 附着되어 있는 곳이 Sensor이다.

Fig. 1에서

$$F(t) = F_{st} + F_a \sin \omega t \dots \dots \dots \quad (1)$$

여기서  $F_{st}$ 는 Static Component이고  $F_a$ 는 Alternating force amplitude를 나타낸다. 이와 같은 Contact impedance meter의動作 그림에서 Specimen의 質量  $m_s$ 나 Indenter의 質量  $m_t$ 와 Reactance를考慮하면 그 Vibro-System(振動系)는 Fig. 2와 같이 된다. Fig. 2의 Vibro-System에서 實際上 微小하기 때문에無視해도 좋은 變數  $m_s$ ,  $m_t$ ,  $r$  等을省略하면 Fig. 3과 같은 振動系로 簡單化된다. 棒이 基本波振動을 하는 경우 棒의 兩端의 振幅을  $\xi$ 라고 하면 壓子가 Specimen에 接觸한 경우의 振幅



Number	Description
1	Surface of specimen
2	Sensor rod
3	Vickers diamond indenter

Fig. 1 Schematic diagram of contact impedance meter.

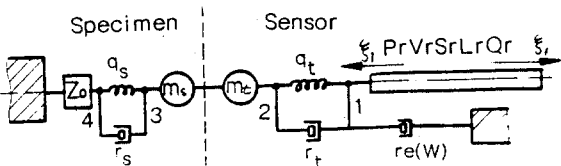


Fig. 2 Vibro-system of sensor and specimen.

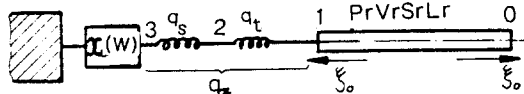


Fig. 3 Simplified vibro-system of ultrasonic hardness tester.

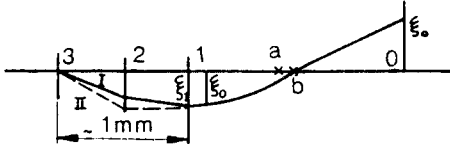


Fig. 4 Amplitude distribution on a contact state

分布는 Fig. 4에 나타낸 바와 같다. Fig. 3에서 Vibro-System이 共振을 하는 경우에 있어서 振動方程式은 다음과 같다.

$$\frac{1}{Z_r \tan \alpha_r} = \omega(q_s + q_t) - \frac{1}{Z_x \tan \alpha_x} \dots\dots (2)$$

여기서  $Z_r = \rho_r V_r S_r$

$$\alpha_r = \frac{\omega L_r}{V} \quad (\omega = 2\pi f)$$

$$\text{따라서 } \omega = \frac{\alpha_r V_r}{L_r}$$

$$Z_r \cdot \omega = (\rho_r V_r S_r) \left( \frac{\alpha_r V_r}{I_{\text{tot}}} \right) = \left( \frac{E_r S_r}{I_{\text{tot}}} \right) \alpha_r$$

$$= \frac{\alpha_r}{q_r}$$

여기서  $E_r = \rho_r V_r^2$  이다. 그러므로 振動棒의 靜的의 Compliance는 다음과 같다.

$$q_r = \frac{L_r}{E_r S_r}$$

式(1)로 부터

$$\text{Cot } \alpha_r = Z_r \omega (q_s + q_t) - \frac{Z_r}{Z_s \tan \alpha_s}$$

여기서  $a_s \equiv a_s + a_t$  이므로

$$\cot \alpha_r = \frac{q_x}{q_z} \alpha_r - \frac{Z_r}{Z_x \tan \alpha_x} \quad \dots \dots \dots \quad (3)$$

만약  $Z_x \tan \alpha_x \gg Z_r$  이 되는 條件을 利用하면 式(3)의 第2項은 第1項에 比較해서 작게 된다.

따라서 式(3)과 같다.

$$\alpha_r \tan \alpha_r \simeq \frac{q_r}{q_x} = \Psi \quad \dots \dots \dots \quad (4)$$

여기서  $\Phi = \alpha_r \tan \alpha_r$  (non-dimensional量) 이고

$\Psi \equiv \frac{q_r}{q_x}$  (彈性的인 Compliance ratio이다.)

式(4)는 다음과 같다.

$$\Phi \simeq \Psi \quad \dots \dots \dots \quad (5)$$

여기서 求하고자 하는 未知量은  $q_x$ 이다.

$q_x$ 는 壓子가 과고 들어가는 量에 따라서 變化한다.

$q_x$ 가 變化하면  $\Phi$ 가 變化하고  $\alpha_r$ 가 變化한다.  $\alpha_r$ 의 變化는 共振周波數의 變化로 나타나게 되는데 이것이 超音波 硬度計의 原理이다. 基本波 振動을 하는 棒을 利用할 경우 Compliance 와 押入자극의 直徑과의 關係는 다음과 같다.

$$\begin{aligned} q_x N &= q_s N + q_t N \\ &= C_s N \left( \frac{1 - \nu_s^2}{E_s d} \right) + C_t N \left( \frac{1 - \nu_t^2}{E_t d} \right) \end{aligned} \quad \dots \dots \dots \quad (6)$$

## 2.2 測定 誤差와 精度

測定誤差와 精度에는 다음 2개의 影響因子가 介入된다.

式(4)에 의해 测定한  $\psi (= q_r / q_x)$ 에 의해 判明된 共振周波數의 變化量과 試料의 Reactance  $Z_x \tan \alpha$ 를 省略한 것에 의하여 생기는 誤差이다.

첫번째의 경우

$$f_{r.1} = \frac{V_r}{2L_r}, \quad \alpha_r = \frac{\omega L_r}{V_r} = \frac{\omega}{2f_{r.1}} = \frac{\pi f}{f_{r.1}} \quad \dots \dots \dots \quad (7)$$

여기서  $f_{r.1}$ 은 棒의 第1次 固有振動數이다. 만약  $\Psi$ 가 적게 된다면 Vibro-System의 第 n 次 共振式은 다음과 같다.

$$\alpha_r = n\pi + \pi \Delta f / f_{r.1} = n\pi (1 + \Delta f / f_{r.n}) \quad \dots \dots \dots \quad (8)$$

여기서  $\Delta f$ 는 變動周波數이고 式(4)는 다음과 같다.

$$n\pi (1 + \Delta f / f_{r.n}) \tan (n\pi \Delta f / f_{r.n}) = \Psi \quad \dots \dots \dots \quad (9)$$

左邊은 近似式으로 다음과 같다.

$$n^2 \pi^2 (1 + \pi \Delta f / f_{r.n}) \Delta f / f_{r.n} \quad \dots \dots \dots \quad (10)$$

여기서  $\pi \Delta f / f_{r.n}$ 이 대단히 작고 0.1 혹은 그 以下일 경우 式(10)은 다음과 같다.

$$\left. \begin{aligned} n^2 \pi^2 \Delta f / f_{r.n} &= \Psi \\ \Delta f \propto \Psi \propto \frac{1}{q_x} \end{aligned} \right\} \quad \dots \dots \dots \quad (11)$$

두번째의 경우 試料의 Reactance에 對해서는 测定誤差는 式(2)로 부터 다음과 같다.

$$\alpha_r \tan \alpha_r = \frac{q_r / q_x}{1 - \frac{1}{2f_{r.1} x_0 q_x q_r}} \quad \dots \dots \dots \quad (12)$$

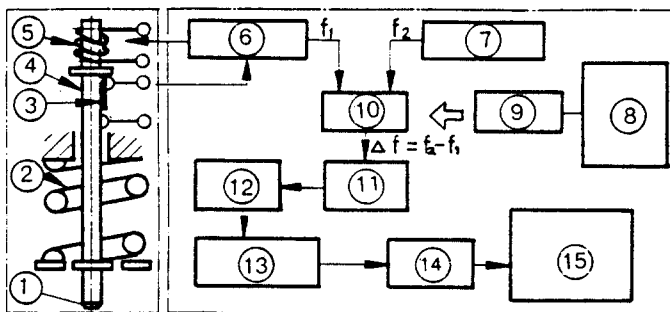
윗式의 右邊은 다음과 같은 경우에 1이 된다.

- (1). 基本波振動  $f_{r.1}$ 이 높은 경우, 즉 超音波 周波數를 利用한 것으로 棒의 길이는 짧게 된다.
- (2). 接觸 Compliance  $q_x$ 가 큰 경우, 즉  $q_x \propto S_c^{-\frac{1}{2}}$ 으로 micro 壓子를 利用한다.
- (3). 試料의 Reactance  $Z_x \tan \alpha$ 가 큰 경우, 이 경우는 큰 試料 혹은 非共振 試料를 使用하든지 혹은 試料가 작을 때는 더욱 큰 物體를 Coupling 한다.

이와 같은 理論에 따르는 超音波 硬度計의 原理를 Schematic diagram으로 나타내면 Fig. 5와 같다.

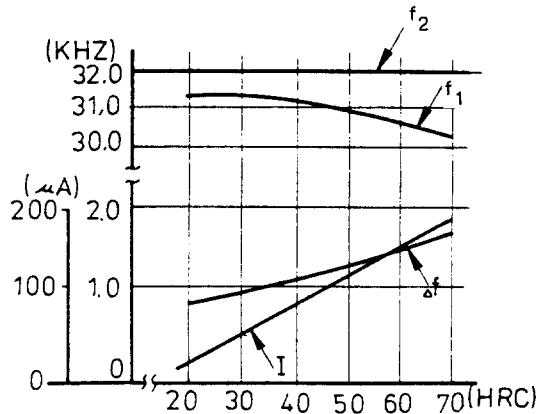
Fig. 5의 Schematic diagram에서 超音波 振動數는 基本波 振動을 利用할 때 36 KHz이며  $f_1$ 과  $\Delta f$ 는 硬度(HRC)와 直線的인 關係가 되지 않도록 發振周波數를 電氣變換回路로 바꾸어 特性을 非直線性으로 하고 硬度(HRC)와 電流가 直線關係가 되도록 Calibration 한다.

Fig. 6에서는 硬度(HRC)와 周波數 그리고 電流와의 特性을 나타내고 있다.



Number	Description	8	Battery(charging circuit)
1	Diamond indenter	9	Constant voltage circuit
2	Constant load spring	10	Mixer
3	Titan acid barium	11	Wave type forming
4	Vibration rod	12	Wave amplitude forming
5	Driving coil	13	f-v Converter
6	Oscillator	14	Amplifier
7	Reference Oscillator	15	Ampere meter

Fig. 5 Schematic diagram of ultrasonic hardness tester.



Description	
$f_1$	Resonance frequency
$f_2$	Reference oscillating frequency
$\Delta f$	$f_2 - f_1$
I	$\Delta f$ Convert ampere

Fig. 6 Characteristics of ultrasonic hardness tester.

### III. 實驗

#### 3.1 實驗 裝置

本實驗에서는硬度測定時に適合한荷重을 얻기 위하여 Fig. 7과 같은 Ring Type Load Cell을 제작하고 초음파 경도계의 압자가 누르는荷重의變化를 Strain의變化量으로부터 구

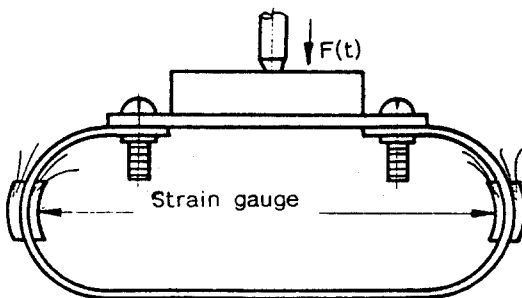
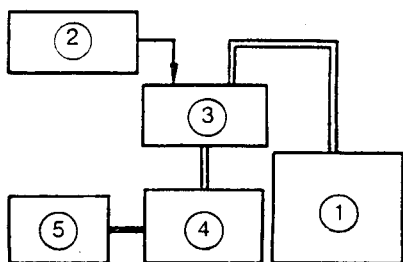


Fig. 7 Ring type load cell.

했으며 시험편은 Mild Steel (HRC 20)로 부터 Hard Steel (HRC 70)의範圍에 걸쳐 각각 다른硬度值을 얻기 위하여高炭素鋼인 S 56 C를 Quenching ( $900^{\circ}\text{C} \times 45\text{ min w.c.}$ )한後 Tempering ( $600^{\circ}\text{C}, 500^{\circ}\text{C}, 400^{\circ}\text{C} \times 30\text{ min F.C.}$ )을 했다.

이 밖에도高壓Gas容器의試片과薄片(foil)의 경우D社의면도날(두께 $0.1\text{ mm}$ )그리고Standard specimen(Steel)等에對해서도測定하였으며, 종래의경도시험기와도그정밀도를비교, 검토했다.

Fig. 8은본실험에사용한실험장치의개략도이며Photo 1은실험장치를나타낸다.



Number	Description
1	Ultrasonic hardness tester
2	Digital strain indicator
3	Ring type load cell
4	Measuring stand
5	Surface Plate

Fig. 8 Block diagram of experimental apparatus.

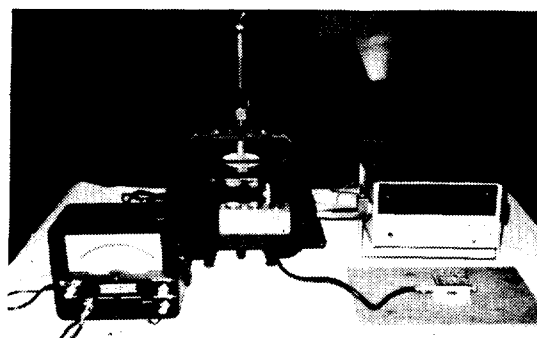


Photo. 1 Experimental apparatus

### 3.2 實驗方法

Standard Specimen(HRC 26.3, HRC 60.3, Hv 169, Hv 364)等을利用해서數回의Calibration을行한 다음測定하고자하는表面에Probe를使用하여一定荷重으로Specimen表面을눌러주게되는데本實驗에서는measuring stand를使用한경우의硬度測定을했으며精度向上을얻기위한方法으로써

- (1). 测定方向에따라서壓子(Chip) Shaft 와 Standard Specimen의傾斜角에미치는影響을考慮했다.
- (2). Specimen의表面粗度는 $1.2\mu\text{m}$ 程度로普通研削을實施했다.
- (3). 各種의 Specimen에對해서順次的으로荷重을增加시켜가면서壓荷重을檢出했다.
- (4). 從來의硬度試驗機들로測定한값들을Rock well로나타내어超音波硬度와比較檢討했다.

### 3.3 實驗結果

HRC 26.0(Tempering  $600^{\circ}\text{C} \times 30\text{ min F.C.}$ )의경우에있어서荷重의變化에따른最適의壓荷重을檢出한것을Fig. 9에나타낸것이다.

마찬가지로HRC 37.6(Tempering  $500^{\circ}\text{C} \times 30\text{ min F.C.}$ )의경우에있어서와HRC 47.9(Tempering  $400^{\circ}\text{C} \times 30\text{ min F.C.}$ )의경우를Fig. 10과Fig. 11에나타내고있다.

HRC 57.3(薄片: foil)의경우에있어서荷重의變化에따른硬度를Fig. 12에서나타내고있다.

Fig. 13은HRC 37.6의경우에있어서Stand測定과Hand測定의것을測定回數와Strain變化와의關係를나타내고Fig. 14는HRC 26.0의경우를測定한結果超音波硬度值와測定回數와의關係를나타낸다.

超音波硬度計와從來의試驗機와의比較로써Rockwell硬度計와의關係를Fig. 15에나타내고있으며Fig. 16, Fig. 17, Fig. 18에서는超音波硬度計와Micro Tukon(knoop)hardness와그리고Vickers hardness와의關係및Shore hardness와의關係를순서대로나타내보이고있다.

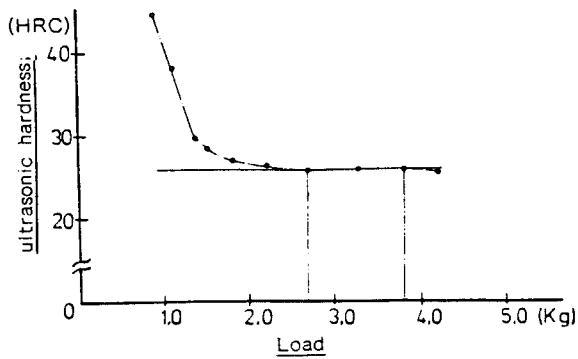


Fig. 9 Relationship between HRC26.0 and load

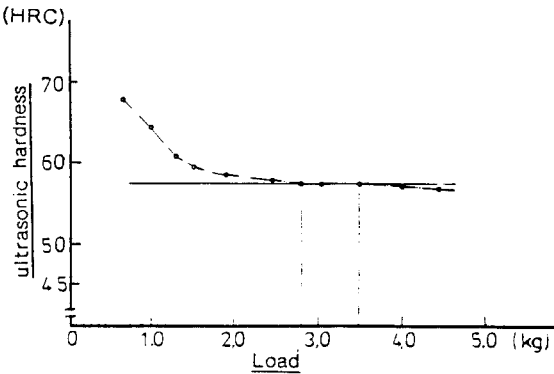


Fig. 12 Relationship between HRC57.3 and load

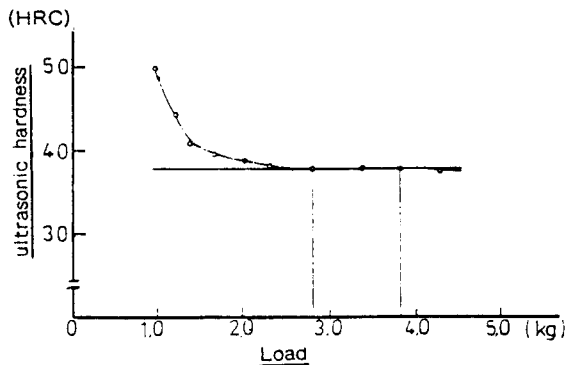


Fig. 10 Relationship between HRC37.6 and load

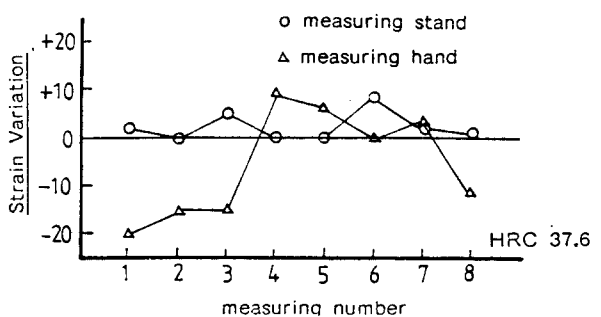


Fig. 13 Relationship between measuring number and strain variation

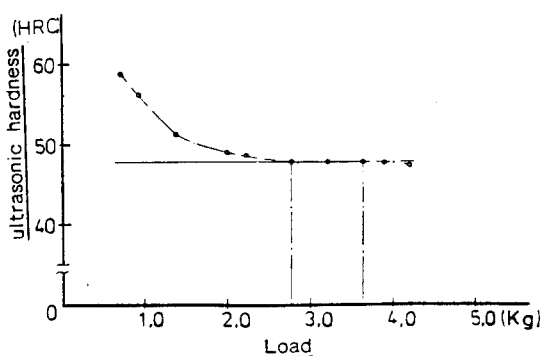


Fig. 11 Relationship between HRC47.9 and load

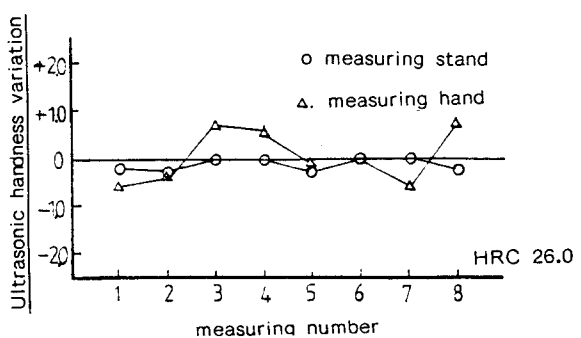


Fig. 14 Relationship between measuring number and ultrasonic.

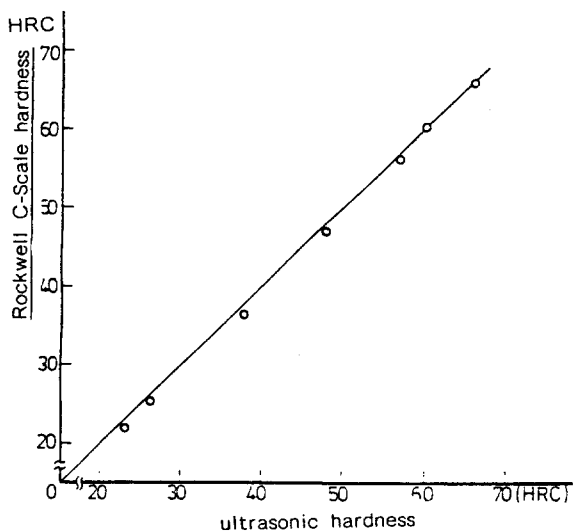


Fig. 15 Relationship between HRC(Rockwell) and HRC.

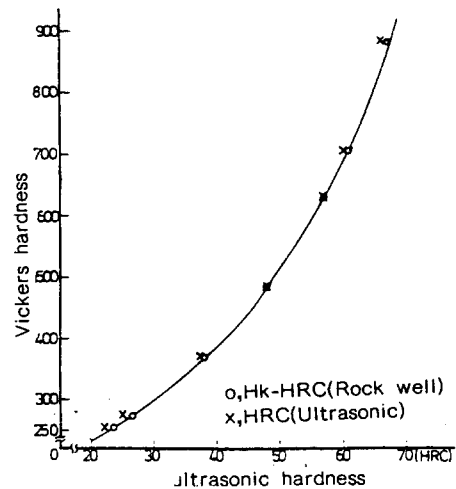


Fig. 17 Relationship between Hv and HRC

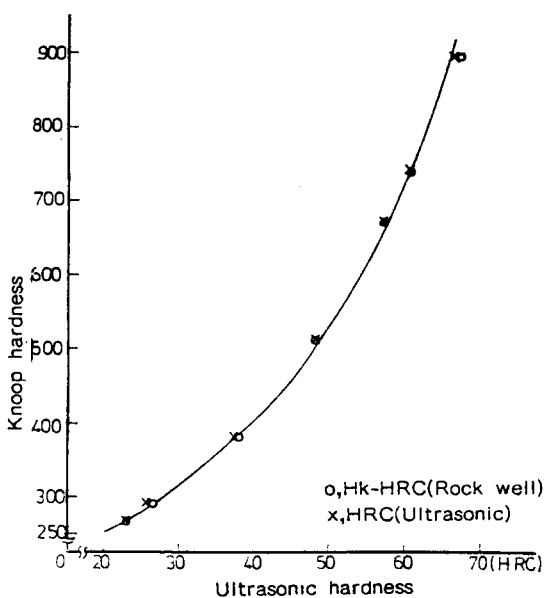


Fig. 16 Relationship between HK and HRC.

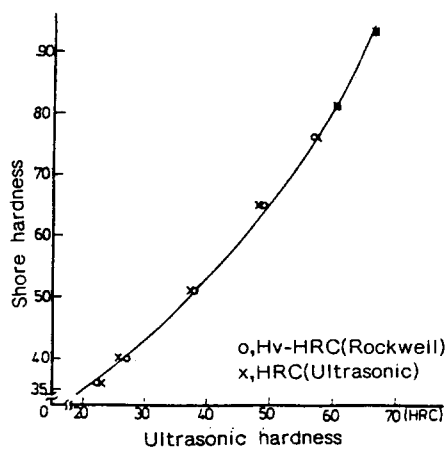


Fig. 18 Relationship between Hs and HRC.

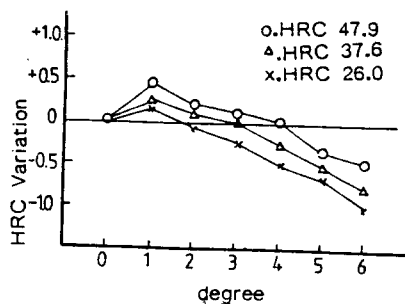


Fig. 19 Effect of inclination between indenter shaft and specimen.

## IV. 考 察

- (1) 發振周波數( $f_1$ )의 硬度에 對한 變化率이 작기 때문에 測定하는데 誤差의 原因이 된다.
- (2) Specimen의 硬度가 HRC20에서 HRC70으로 增加됨에 따라 壓荷重을 決定하는데 不安定했다.
- (3) Specimen의 Reactance  $x_o (Z_x \tan \alpha_x)$ 를 無視했을 경우 誤差의 原因이 된다.
- (4) 測定方向에 對한 壓子(Chip) Shaft 와 Specimen과의 傾斜角에 따르는 變化를 Fig. 19에 나타내 보이고 있다.

## V. 結 論

- (1) 本 超音波 硬度計의 測定誤差는 實驗結果(壓荷重 3.0 kg)에 의하면  $\pm 0.5$  HRC F. S 以內임을 確認하였다.
- (2) 從來의 硬度試驗機와의 比較해서 Rockwell과는  $\pm 0.8$  HRC와 Micro Tukon (knoop)과는  $\pm 0.3$  HRC이었으며 Vickers와는  $\pm 0.26$  HRC이고, Shore와는  $\pm 0.5$  HRC의 差異를 가져옴을 알 수 있었다.

## 參考文獻

- (1) M. W. Simmons : Ultrasonic hardness testing, Tool and Manuf. Engr, June (1966) p. 80~81.
- (2) 島川正憲 : 超音波 かたさ計, 計量管理. Vol. 18, No. 7 (1966) p. 355~359.
- (3) United States Patent : 3.153.338.
- (4) United States Patent : 3.308.476.
- (5) United States Patent : 3.302.454.
- (6) 島川正憲 : 超音波 工學 — 理論と實際. 工業調查會. p. 511~517.
- (7) C. Kleesattel and G. M. L. Gladwell : The Contact-impedance meter - 1. Ultrasonics. Vol. 6, No. 3 (1968) p. 175~180.
- (8) C. Kleesattel and G. M. L. Gladwell : The Contact-impedance meter - 2. Ultrasonics. Vol. 6, No. 4 (1968) p. 244~251.
- (9) 超音波 かたさ計 資料 : 川鐵計量器株式會社. p. 1~33.